

# Resuscitace momentové metody

Zdeněk Fabián  
Ústav informatiky AV ČR Praha

ROBUST 2012

$(x_1, \dots, x_n)$ :  $X$  s hustotou  $f$  na  $\mathcal{X} \subseteq \mathbb{R}$

- Parametrický model  $f(x; \theta), \theta = (\theta_1, \dots, \theta_m)$

$(x_1, \dots, x_n)$ :  $X$  s hustotou  $f$  na  $\mathcal{X} \subseteq \mathbb{R}$

- Parametrický model  $f(x; \theta), \theta = (\theta_1, \dots, \theta_m)$
- Momentová metoda

$$S(X): \quad ES^k(\theta) = \int_{\mathcal{X}} S^k(x; \theta) f(x; \theta) dx$$

$(x_1, \dots, x_n)$ :  $X$  s hustotou  $f$  na  $\mathcal{X} \subseteq \mathbb{R}$

■ Parametrický model  $f(x; \theta), \theta = (\theta_1, \dots, \theta_m)$

■ Momentová metoda

$$S(X): \quad ES^k(\theta) = \int_{\mathcal{X}} S^k(x; \theta) f(x; \theta) dx$$

■

$$\frac{1}{n} \sum_{i=1}^n S^k(x_i; \theta) = ES^k(\theta) \quad k = 1, \dots, m$$

$(x_1, \dots, x_n)$ :  $X$  s hustotou  $f$  na  $\mathcal{X} \subseteq \mathbb{R}$

- Parametrický model  $f(x; \theta), \theta = (\theta_1, \dots, \theta_m)$

Momentová metoda

$$S(X): \quad ES^k(\theta) = \int_{\mathcal{X}} S^k(x; \theta) f(x; \theta) dx$$

$$\frac{1}{n} \sum_{i=1}^n S^k(x_i; \theta) = ES^k(\theta) \quad S(x; \theta) = x$$

Metoda maximum likelihood  $L(\theta) = f(x; \theta)$

Skórová funkce  $U(\theta) = \frac{\partial}{\partial \theta} \log L(\theta)$

$$\frac{1}{n} \sum_{i=1}^n U_{\theta_k}(x_i; \theta) = 0 \quad k = 1, \dots, m$$

# Skórová funkce rozdělení na $R$

- odhadý momentovou metodou:  
nejsou optimální ale jsou to názorné charakteristiky  
datového souboru

# Skórová funkce rozdělení na $R$

- odhadý momentovou metodou:  
nejsou optimální ale jsou to názorné charakteristiky datového souboru
- Pro některá rozdělení obě metody dávají identické odhadý

$\mathbb{R}, \theta = \mu, f(x - \mu)$ :

$$U(x - \mu) = \frac{\partial}{\partial \mu} \log f(x - \mu) = -\frac{f'(x - \mu)}{f(x - \mu)} \equiv S(x - \mu)$$

## Skórová funkce rozdělení na $R$

- odhadý momentovou metodou:  
nejsou optimální ale jsou to názorné charakteristiky datového souboru
- Pro některá rozdělení obě metody dávají identické odhady

$\mathbb{R}, \theta = \mu, f(x - \mu)$ :

$$U(x - \mu) = \frac{\partial}{\partial \mu} \log f(x - \mu) = -\frac{f'(x - \mu)}{f(x - \mu)} \equiv S(x - \mu)$$

- Na  $\mathbb{R}$  máme skórovou funkci rozdělení  $S(x) = -\frac{f'(x)}{f(x)}$

# Obecně to nejde

- exponenciální

$$f(x) = \frac{1}{\tau} e^{-x/\tau} \text{ na } \mathcal{X} = (0, \infty)$$

$$-\frac{f'(x)}{f(x)} = 1$$

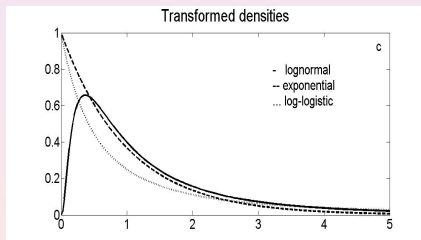
# Obecně to nejde

- exponenciální

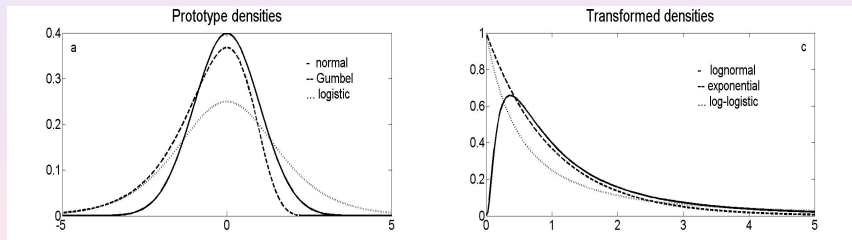
$$f(x) = \frac{1}{\tau} e^{-x/\tau} \text{ na } \mathcal{X} = (0, \infty)$$

$$-\frac{f'(x)}{f(x)} = 1$$

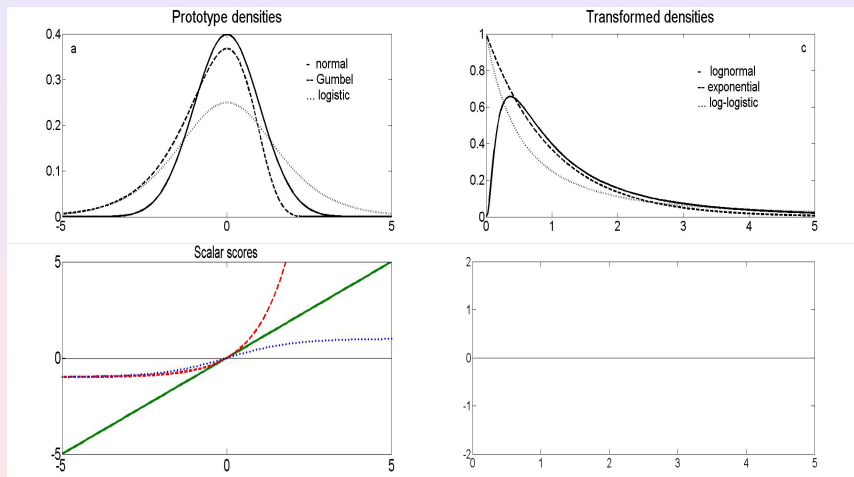
- Rozdělení na  $R_+$



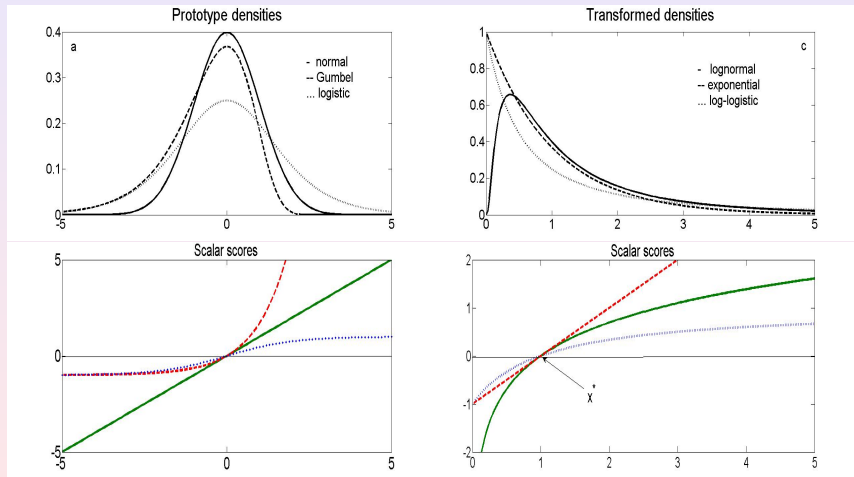
# Transformovaná rozdělení



# Transformovaná rozdělení



# Skalární skór (pro libovolné rozdělení)



## Definice

$F$  na intervalu  $\mathcal{X}$  s hustotou  $f(x)$ ,  $\eta : \mathcal{X} \rightarrow \mathbb{R}$  :

$$\eta(x) = \begin{cases} x & \text{if } \mathcal{X} = \mathbb{R} \\ \log x & \text{if } \mathcal{X} = (0, \infty) \\ \log \frac{x}{1-x} & \text{if } \mathcal{X} = (0, 1), \end{cases}$$

$$T(x) = -\frac{1}{f(x)} \frac{d}{dx} \left( \frac{1}{\eta'(x)} f(x) \right)$$

$$x^* : \quad T(x) = 0$$

Pak  $S(x) = \eta'(x^*) T(x)$  je skórová funkce rozdělení  $F$

na  $\mathcal{X} = (0, \infty)$  je  $S(x) = \frac{1}{x^*} \left[ -1 - x \frac{f'(x)}{f(x)} \right]$

# Nový pohled na pravd. rozdělení

- $\mathcal{X}, \theta \in \Theta \subseteq \mathbb{R}$

$F(x), f(x), S(x) \dots$  skórová funkce rozdělení

$F(x; \theta), f(x; \theta), S(x; \theta) \dots$  skalární skór

# Nový pohled na pravd. rozdělení

- $\mathcal{X}, \theta \in \Theta \subseteq \mathbb{R}$

$F(x), f(x), S(x) \dots$  skórová funkce rozdělení

$F(x; \theta), f(x; \theta), S(x; \theta) \dots$  skalární skór

- Typická hodnota: těžiště  $x^*(\theta)$ :      ES=0

$$S(x; \theta) = 0$$

# Nový pohled na pravd. rozdělení

- $\mathcal{X}, \theta \in \Theta \subseteq \mathbb{R}$

$F(x), f(x), S(x) \dots$  skórová funkce rozdělení

$F(x; \theta), f(x; \theta), S(x; \theta) \dots$  skalární skór

- Typická hodnota: těžiště  $x^*(\theta)$ :  $ES=0$

$$S(x; \theta) = 0$$

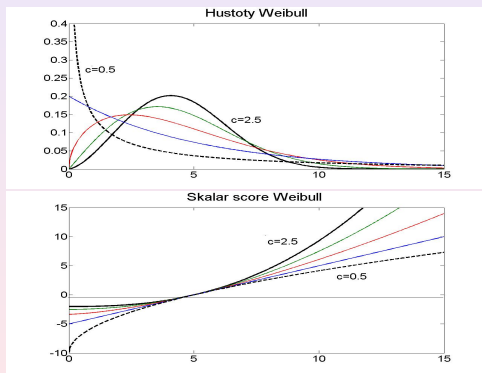
- Shoda s klasickou statistikou:

Věta. Když  $\theta = \tau = \eta^{-1}(\mu)$

$$S(x; \tau) = \frac{\partial}{\partial \tau} (-\log f(x; \tau))$$

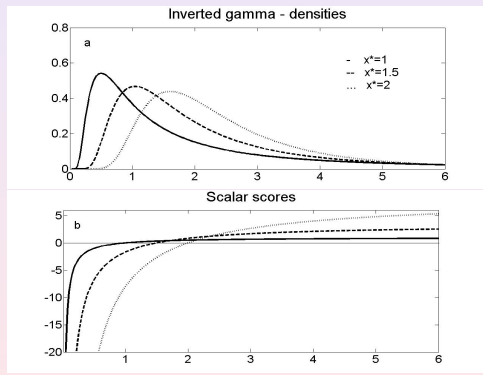
$\mathcal{X} = (0, \infty)$ , Weibull

$$f(x; \tau, c) = \frac{c}{\tau} \left(\frac{x}{\tau}\right)^{c-1} e^{-\left(\frac{x}{\tau}\right)^c} \quad S(x; \tau, c) = \frac{c}{\tau} \left(\left(\frac{x}{\tau}\right)^c - 1\right)$$



$\mathcal{X} = (0, \infty)$ , inverted gamma

$$f(x; \alpha, \gamma) = \frac{\gamma^\alpha}{x\Gamma(\alpha)} x^{-\alpha} e^{-\gamma/x} \quad S(x; \alpha, \gamma) = \frac{\gamma^2}{\alpha} (1 - x^*/x)$$



# Co přináší $S$ nového pro popis modelu

- A. Systematika rozdělení: podle chování  $S$  na koncích intervalu  $\mathcal{X}$

# Co přináší $S$ nového pro popis modelu

- A. Systematika rozdělení: podle chování  $S$  na koncích intervalu  $\mathcal{X}$
- B. Nové numerické charakteristiky:  $x^*, \omega^2$

# Co přináší $S$ nového pro popis modelu

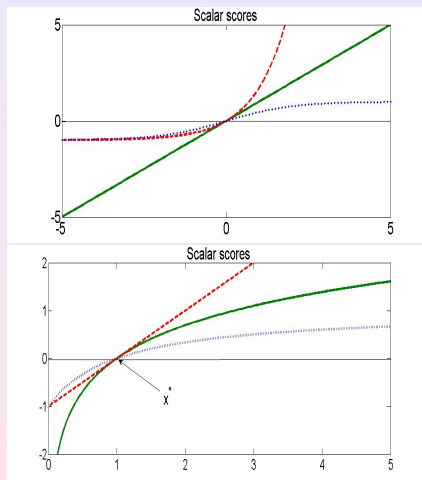
- A. Systematika rozdělení: podle chování  $S$  na koncích intervalu  $\mathcal{X}$
- B. Nové numerické charakteristiky:  $x^*, \omega^2$
- C. Nové funkce charakterizující rozdělení:  
 $S(x)$  vlivová funkce  
 $S^2(x)$  informační funkce  
 $S'(x) = \frac{dS(x)}{dx}$  vahová funkce

# Co přináší $S$ nového pro popis modelu

- A. Systematika rozdělení: podle chování  $S$  na koncích intervalu  $\mathcal{X}$
- B. Nové numerické charakteristiky:  $x^*, \omega^2$
- C. Nové funkce charakterizující rozdělení:  
 $S(x)$  vlivová funkce  
 $S^2(x)$  informační funkce  
 $S'(x) = \frac{dS(x)}{dx}$  vahová funkce
- D. Vzdálenosti mezi daty a modely

$$d(x_1, x_2) = |S(x_1) - S(x_2)| \quad D(f, g) = E_f(S_f - S_g)^2$$

## A. Systematika rozdělení



## Beta triplet

$\mathcal{X}$	distribution	density
$R$	'prototype beta'	$\frac{1}{B(p,q)} \frac{e^{py}}{(e^y+1)^{p+q}}$
$(0, \infty)$	beta-prime	$\frac{1}{B(p,q)} \frac{x^{p-1}}{(x+1)^{p+q}}$
$(0, 1)$	beta	$\frac{z^{p-1}(1-z)^{q-1}}{B(p,q)}$

## B. Numerické charakteristiky: momenty $ES^k$

- $ES = 0$ . Poloha na ose  $x$ :  $x^*: S(x) = 0$
- $ES^2$  Fisherova informace rozdělení

## B. Numerické charakteristiky: momenty $ES^k$

- $ES = 0$ . Poloha na ose  $x$ :  $x^*: S(x) = 0$

$ES^2$  Fisherova informace rozdělení

- Míra variability rozdělení: score variance

$$\omega^2(\theta) = \frac{1}{ES^2(\theta)}$$

## B. Numerické charakteristiky: momenty $ES^k$

- $ES = 0$ . Poloha na ose  $x$ :  $x^*: S(x) = 0$

$ES^2$  Fisherova informace rozdělení

- Míra variability rozdělení: score variance

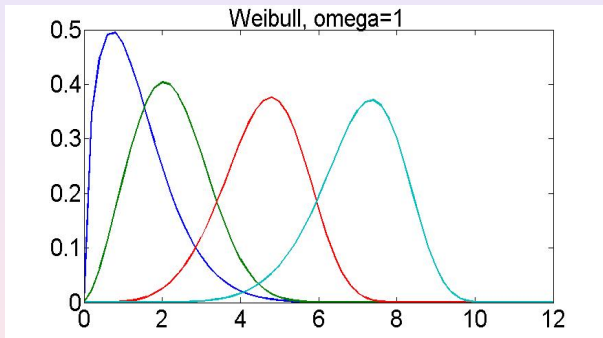
$$\omega^2(\theta) = \frac{1}{ES^2(\theta)}$$

- pozn. normální rozdělení  $S(x; \mu, \sigma) = \frac{x-\mu}{\sigma^2}$ ,  
 $x^* = \mu, \omega = \sigma$

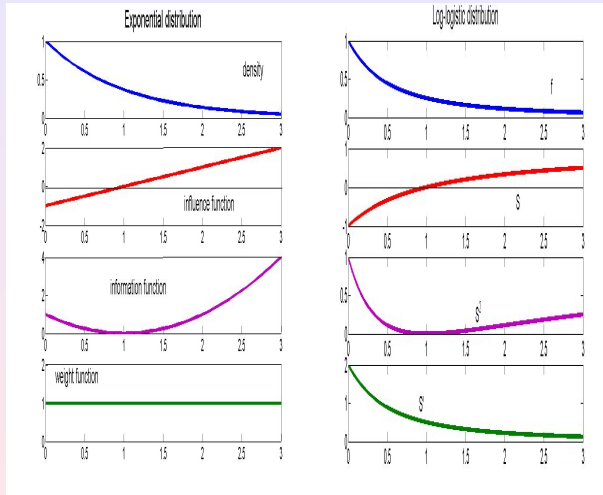
# Těžiště a score variance

$F$	$f(x)$	$S(x)$	$m$	$x^*$	$\omega^2$
expon.	$\frac{1}{\tau} e^{-x/\tau}$	$\frac{1}{\tau} \left( \frac{x}{\tau} - 1 \right)$	$\tau$	$\tau$	$\tau^2$
lognor.	$\frac{c}{\sqrt{2\pi}x} e^{-\frac{1}{2} \ln^2(\frac{x}{\tau})^c}$	$\frac{c}{\tau} \ln(\frac{x}{\tau})^c$	$\tau(e^{\frac{1}{c^2}})^{1/2}$	$\tau$	$\tau^2/c^2$
Weibull	$\frac{c}{x} \left( \frac{x}{\tau} \right)^c e^{-\left( \frac{x}{\tau} \right)^c}$	$\frac{c}{\tau} \left( \left( \frac{x}{\tau} \right)^c - 1 \right)$	$\tau \Gamma(\frac{1}{c} + 1)$	$\tau$	$\tau^2/c^2$
log-log.	$\frac{c}{x} \frac{(x/\tau)^c}{((x/\tau)^c + 1)^2}$	$\frac{c}{\tau} \frac{(x/\tau)^c - 1}{(x/\tau)^c + 1}$		$\tau$	$\frac{3\tau^2}{c^2}$
gamma	$\frac{\gamma^\alpha}{\Gamma(\alpha)} x^{\alpha-1} e^{-\gamma x}$	$\frac{\gamma^2}{\alpha} (x - x^*)$	$\frac{\alpha}{\gamma}$	$\frac{\alpha}{\gamma}$	$\frac{\alpha}{\gamma^2}$
Pareto	$c/x^{c+1}$	$\frac{c^2}{c+1} \left( 1 - \frac{x^*}{x} \right)$	$\frac{c}{c-1}$	$\frac{c+1}{c}$	$\frac{c+2}{c^3}$
beta-pr.	$\frac{1}{B(p,q)} \frac{x^{p-1}}{(x+1)^{p+q}}$	$\frac{q^2}{p} \frac{x-x^*}{x+1}$	$\frac{p}{q-1}$	$\frac{p}{q}$	$\frac{p(p+q+1)}{q^3}$
Fréchet	$\frac{c}{x} \left( \frac{\tau}{x} \right)^c e^{-\left( \frac{\tau}{x} \right)^c}$	$\frac{c}{\tau} \left[ 1 - \left( \frac{\tau}{x} \right)^c \right]$	$\tau \Gamma(1 - \frac{1}{c})$	$\tau$	$\tau^2/c^2$

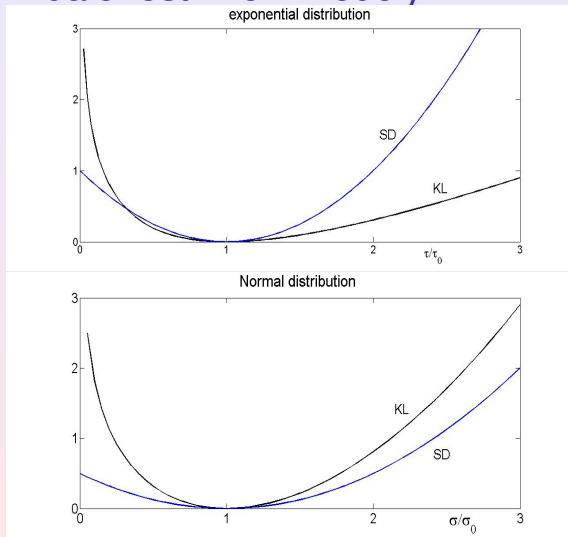
## Variabilita pomocí $\omega^2$



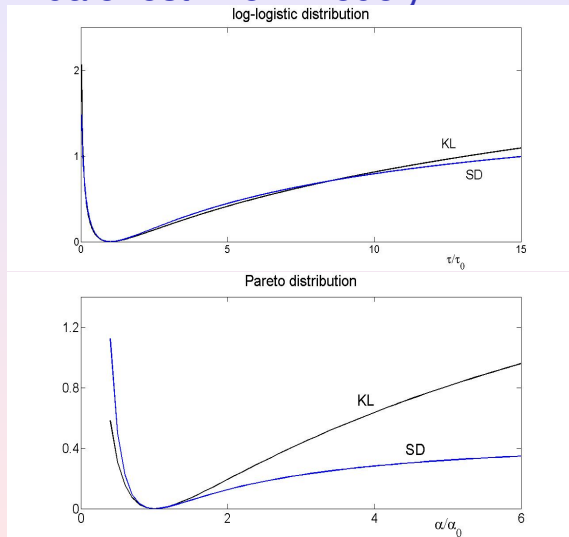
## C. Funkce charakterizující rozdělení



## D. Vzdálenosti mezi modely



## D. Vzdálenosti mezi modely



# Co přináší S nového pro statistiku

Málo dat:

- Neznáme model, 'čistá' data: neparametrické metody

# Co přináší S nového pro statistiku

Málo dat:

- Neznáme model, 'čistá' data: neparametrické metody
- Neznáme model, kontaminovaná data: metody robustní statistiky

# Co přináší S nového pro statistiku

Málo dat:

- Neznáme model, 'čistá' data: neparametrické metody
- Neznáme model, kontaminovaná data: metody robustní statistiky
- Známe model, 'čistá' data: parametrické metody klasické statistiky

# Co přináší S nového pro statistiku

Málo dat:

- Neznáme model, 'čistá' data: neparametrické metody
- Neznáme model, kontaminovaná data: metody robustní statistiky
- Známe model, 'čistá' data: parametrické metody klasické statistiky
- Známe model, kontaminovaná data: parametrické metody založené na skalárním skóru

# $S$ jako inferenční funkce pro bodové odhady

## ■ 1. Rovnice pro odhady

$$\hat{\theta}_{SM} : \quad \frac{1}{n} \sum_{i=1}^n S^k(x_i; \theta) = E S^k(\theta) \quad k = 1, \dots, m$$

M-estimátor konsistentní, asympt. normální  
a robustní pro **všechny** parametry když  $S$  je omezená

# $S$ jako inferenční funkce pro bodové odhady

## ■ 1. Rovnice pro odhady

$$\hat{\theta}_{SM} : \frac{1}{n} \sum_{i=1}^n S^k(x_i; \theta) = E S^k(\theta) \quad k = 1, \dots, m$$

M-estimátor konsistentní, asympt. normální  
a robustní pro **všechny** parametry když  $S$  je omezená

## ■ 2. Neomezená skalární funkce jde snadno 'huberizovat'

# $S$ jako inferenční funkce pro bodové odhady

## ■ 1. Rovnice pro odhady

$$\hat{\theta}_{SM} : \quad \frac{1}{n} \sum_{i=1}^n S^k(x_i; \theta) = E S^k(\theta) \quad k = 1, \dots, m$$

M-estimátor konsistentní, asympt. normální  
a robustní pro **všechny** parametry když  $S$  je omezená

- 2. Neomezená skalární funkce jde snadno 'huberizovat'
- 3. Výsledky pro rozdílné modely jdou porovnávat pomocí  
vzdáleností  $d(x_0^*, \hat{x}^*)$  kde

$$\hat{x}^* = x^*(\hat{\theta}), \quad \hat{\omega}^* = \omega(\hat{\theta})$$

$$\text{a } D(F_{\theta_0}, F_{\hat{\theta}})$$

Těžiště:  $\sum_i S(x_i; \theta) = 0$

exponential       $\sum_i \left( \frac{x_i}{\tau} - 1 \right) = 0$        $\hat{\tau} = \bar{x}$

lognormal       $\sum_i \log(x_i/\tau) = 0$        $\hat{\tau} = \bar{x}_g$

Weibull       $\sum_i \left[ \left( \frac{x_i}{\tau} \right)^c - 1 \right] = 0$        $\hat{\tau} = \left( \frac{1}{n} \sum_i x_i^c \right)^{1/c}$

Pareto       $\sum_i (1 - x^*/x_i) = 0$        $\hat{x}^* = \frac{n}{\sum_i \frac{1}{x_i}}$

# Konstrukce rodiny s těžkým chvostem



$$S(x) = \frac{x - 1}{x + 1}$$

Integrací rovnice

$$S(x) = \frac{1}{x^*} \left( -1 - x \frac{f'(x)}{f(x)} \right)$$

dostaneme hustotu  $f(x) = 1/(1+x)^2$ . Zobecníme  $S(x)$  na

$$S(x; \tau, c, \alpha, \nu) = \frac{1}{\tau} \alpha c \frac{(x/\tau)^c - 1}{(x/\tau)^c + 1/\nu}$$

# Konstrukce rodiny s těžkým chvostem



$$S(x) = \frac{x - 1}{x + 1}$$

Integrací rovnice

$$S(x) = \frac{1}{x^*} \left( -1 - x \frac{f'(x)}{f(x)} \right)$$

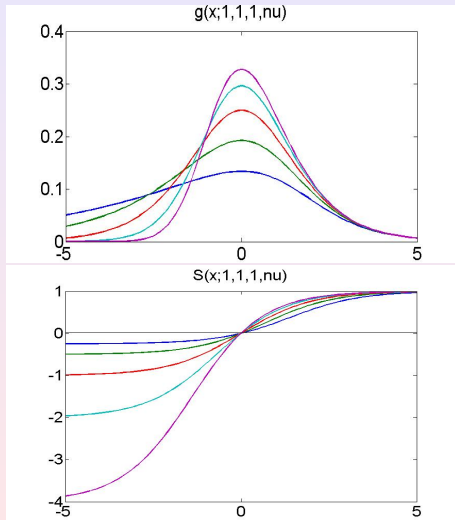
dostaneme hustotu  $f(x) = 1/(1+x)^2$ . Zobecníme  $S(x)$  na

$$S(x; \tau, c, \alpha, \nu) = \frac{1}{\tau} \alpha c \frac{(x/\tau)^c - 1}{(x/\tau)^c + 1/\nu}$$

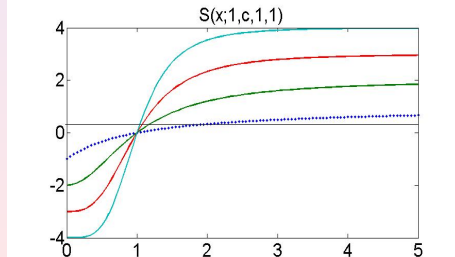
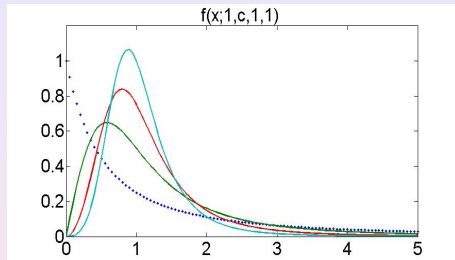


$$f(x; \tau, c, \alpha, \nu) = \frac{c}{\nu^\alpha B(\nu\alpha, \alpha)x} \frac{(x/\tau)^{c\nu\alpha}}{[(x/\tau)^c + 1/\nu]^{(1+\nu)\alpha}}$$

# Prototype of $f(x; 1, 1, 1, \nu)$



$$f(x; 1, c, 1, 1)$$



# Rozdělení beta-prime

$$f(x; p, q) = \frac{1}{B(p, q)} \frac{x^{p-1}}{(x+1)^{p+q}} \quad S(x; p, q) = \frac{q}{p} \frac{qx - p}{x + 1},$$

$$x^* = p/q, ES^2 = \frac{q^3}{p(p+q+1)}.$$

Score moment rovnice

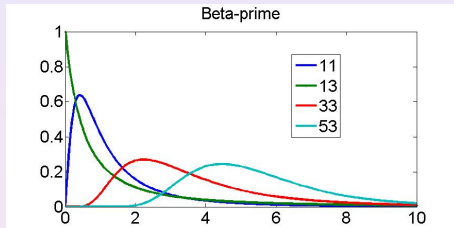
$$\sum_{i=1}^n \frac{x_i - x^*}{x_i + 1} = 0$$

$$\frac{1}{n} \sum_{i=1}^n \left( \frac{x_i - x^*}{x_i + 1} \right)^2 = \frac{p}{q(p+q+1)}$$

Z první rovnice

$$\hat{x}^* = \frac{\sum_{i=1}^n \frac{x_i}{1+x_i}}{\sum_{i=1}^n \frac{1}{1+x_i}}$$

## Efficiencies: beta-prime( $x^*, \omega$ )



$x^*$	$\omega$	$x_{SM}^*$	$x_{ML}^*$	$\omega_{SM}$	$\omega_{ML}$	$\text{eff}(x_{SM}^*)$	$\text{eff}(\omega_{SM}^2)$
1	1	1.007	1.007	0.998	0.993	0.98	0.94
1	3	1.019	1.017	3.079	3.008	0.81	0.66
3	3	3.029	3.031	2.993	2.988	0.99	0.92
5	3	5.031	5.031	2.967	2.969	1	0.99

# Rozdělení s neomezeným skalárním skórem

Aplikace postupu robustní statistiky:

$$\psi(x; \theta) = \begin{cases} -b & \text{if } x < u \\ S(x; \theta) & \text{if } u \leq x \leq v \\ b & \text{if } x > v \end{cases}$$

a odhad  $\hat{\theta}$  parametru  $\theta$  z rovnic

$$\sum_{i=1}^n \psi(x_i; \theta) = 0 \quad \frac{1}{n} \sum_{i=1}^n \psi^2(x_i; \theta) = E\psi^2(\theta)$$

kde  $\psi = \Psi - E\Psi$

# Simulace

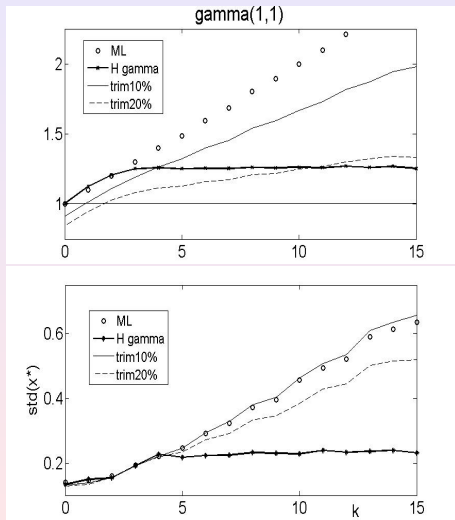
$f(x^*, \omega)$  na  $(0, \infty)$

Useknutí v bodě  $v = x_0 + k\omega_0$

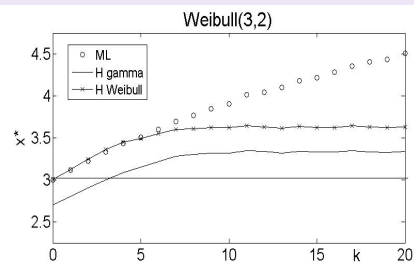
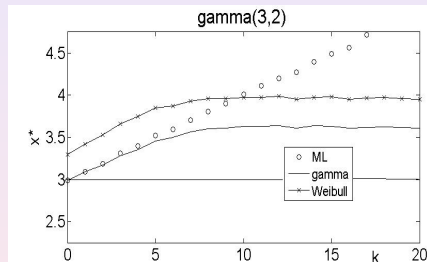
kde  $x_0$  je median a  $\omega_0 = MAD$

Kontaminace  $f_{cont} = 0.9f(1, 1) + 0.1f(1 + k, 1)$

# Porovnání s useknutým průměrem



# Huberized gamma a Weibull



# Huberized Weibull

Weibull(3,2)

